

УДК 538.22

С.І.Ющук, *Г.С.Байцар, Р.І.Байцар, С.С.Варшава

Національний університет “Львівська політехніка”,
*Львівський національний університет імені Івана Франка**ЕЛЕКТРИЧНІ ВЛАСТИВОСТІ СТРУКТУР
НАПІВПРОВІДНИК–ФЕРИТ**

© Ющук С.І., *Байцар Г.С., Байцар Р.І., Варшава С.С., 2003

S.I.Yushchuk, *A.S.Bajtsar, R.I.Baitsar, S.S.Varshava

**ELEKTRICAL PROPERTIES
OF SEMICONDUCTOR-FERRITE STRUCTURES**

© Yushchuk S.I., *Bajtsar A.S., Baitsar R.I., Varshava S.S., 2003

Досліджено структури напівпровідник-ферит, сформовані тісним контактом між напівпровідниковим монокристалом InSb (магніторезистор-MR) і феритовою підкладкою. Використовувалися орієнтовані монокристалічні підкладки $Mn_xZn_{1-x}Fe_2O_4$, $YFeO_3$, Mn-Zn-полікристали і плівки ферогранатів, які були вирощені рідкофазною епітаксією (РФЕ) на підкладках з галій-гадолінієвого гранату (ГГГ). Досліджено вплив феритових підкладок на вольт-амперні характеристики і встановлено, що чутливість MR зростає залежно від магнітного поля для різних значень робочого струму I_0 .

Semiconductor - ferrite structures, formed by means of tight contact between InSb monocrystal (magnetoresistor –MR) and ferrite substrate have been investigated. The oriented $Mn_xZn_{1-x}Fe_2O_4$ monocrystal substrates, $YFeO_3$, Mn-Zn polycrystal ferrite and YIG films epitaxially grown on GGG surface from liquid-phase (LPE) were used. Substrate influence at the VAC and the voltage gain on magnetoresistor increase depending on the magnetic field (B) for different I_0 were investigated.

Вступ. Потреби, які зростають, різних галузей науки і техніки у сенсорах та перетворювачах фізичних величин вимагають застосування нових фізичних принципів і матеріалів, які використовуються для активних елементів. Такими перспективними матеріалами є ферити та епітаксійні плівки феритів-гранатів, які досліджуються з метою використання їх у пристроях обробки і збереження інформації, для керування світловими сигналами, у надвисокочастотних приладах та в сенсорах магнітного поля [1-3].

Метод рідкофазної епітаксії (РФЕ) дозволяє вирощувати високодосконалі плівки ферогранатів на підкладках з галій-гадолінієвого гранату з напрямком намагніченості, близьким до нормалі. Однак для сенсорних застосувань потрібні плівки з іншими властивостями магнітної анізотропії, а саме з напрямком намагніченості, близьким до площини. Створення і застосування таких матеріалів вимагає глибокого дослідження процесів перемагнічування, доменної структури, а також встановлення вимог до магнітних властивостей епітаксійних ферогранатових структур та розробки технології їх виготовлення.

Особливе зацікавлення викликають багатофункціональні сенсори, призначені для одночасного вимірювання кількох фізичних величин. Тут відомі феритові давачі для вимірювання температури і вологості повітря [4]. Гетероструктури, які складаються з напівпровідникової плівки, нанесеної на кристал залізо-ітрієвого гранату, дозволяють створювати новий клас мікроелектронних пристроїв, робота яких базується на взаємодії магнітостатичних хвиль і електронної підсистеми у напівпровіднику [5]. Таким приладом можна керувати прикладанням електричного поля або освітленням поверхні напівпровідника.

Одна з перших робіт у цьому напрямку [6] була присвячена дослідженню фізичних явищ в структурах ферит-напівпровідник і аналізу перспектив використання цих структур у надвисокочастотній мікроелектроніці. Подальші дослідження, проведені у Львівській політехніці, стосуються технології вирощування епітаксійних напівпровідникових плівок на підкладках з залізомістких гранатів та дослідження їх структурних, електричних та гальваномагнітних властивостей [7, 8]. Роботи [9, 10] присвячені застосуванню структур ферит-напівпровідник у сенсорній техніці.

Однак, фізичні процеси, що відбуваються у перехідних (інтерфейсних) шарах між феритом і напівпровідником, на теперішній час вивчені недостатньо. Зокрема, не досліджено вплив магнітних параметрів та структури фериту на електричні та гальваномагнітні властивості напівпровідника. Саме цьому питанню і присвячена ця робота.

Експериментальні результати та їх обговорення. У нашій роботі проведено серію експериментів з метою вивчення впливу феритової підкладки на вольт-амперні та магнітні характеристики структури напівпровідник - ферит. Напівпровідниковими магніторезистивними елементами слугували монокристали InSb з розмірами $2,0 \cdot 0,5 \cdot 0,15$ мм³ [11]. Їх електричні параметри при 300К становили: концентрація вільних носіїв $\sim 4 \cdot 10^{15}$ см⁻³, рухливість $\sim 1,6 \cdot 10^5$ см²/В·с, питомий опір $\sim 0,01$ Ом·см) [12]. Омичні контакти створювали імпульсним приварюванням золотого мікродроту до країв кристалів. Вирішували конструктивні задачі, тобто варіанти розташування точкових контактів і їх з'єднання, а також питання апроксимації вольт-амперних характеристик та характеристик $\Delta U = f(B)|_{I = \text{const}}$, де ΔU – приріст напруги на МР за рахунок поля; B – індукція магнітного поля.

У першій серії експериментів створювали “сендвіч”-структури тісним контактом між напівпровідниковим магніторезистором і феритовою підкладкою з монокристалічного Mn-Zn фериту ($\text{Mn}_x\text{Zn}_{1-x}\text{Fe}_2\text{O}_4$, $x \sim 0,5$). Відомо, що феритові підкладки служать концентраторами магнітного поля для елементів Холла [13]. У цьому випадку отримано суттєве підвищення чутливості МР до поля (~ 2 рази) та деякі зміни форми залежностей $\Delta U = f(B)$.

Відзначено значний вплив на цю залежність величини робочого струму I_0 . Загалом залежність $\Delta U = f(B)$ складається з двох ділянок: I – нелінійне зростання ΔU ($B = 0 \dots 0,15$ Тл) і II – близька до лінійної ($B = 0,15 \dots 0,5$ Тл). Значення коефіцієнтів чутливості до поля, визначених за допомогою підрахунків, наведені у табл. 1 для звичайного МР та для “сендвіч”-структур.

При використанні полікристалічних Mn-Zn феритів отримано максимальне підвищення магнітоопору за рахунок підкладки у полях $B = 0,26$ Тл.

**Чутливість МР без підкладки (одноелементний зразок)
і з феритовою підкладкою (двоелементний зразок)**

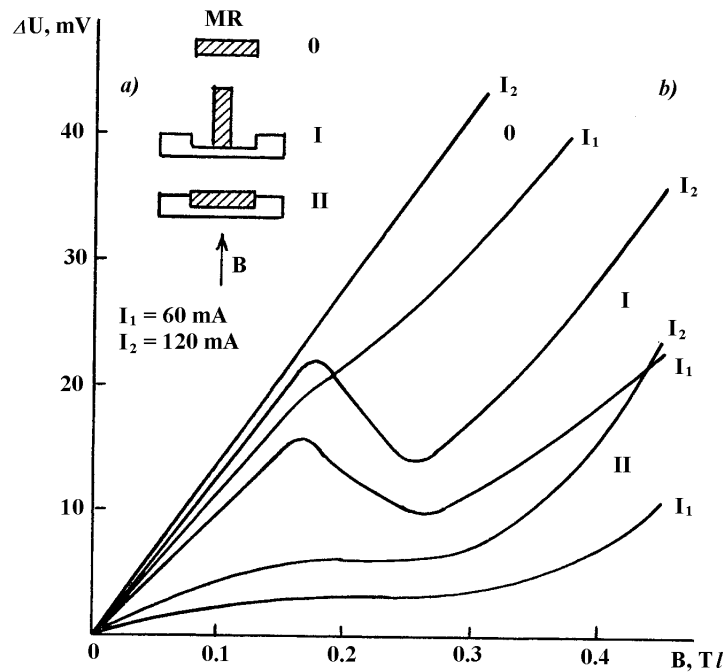
Струм живлення МР, mA	$\gamma = \frac{\Delta U \cdot 100}{U_0 \Delta B}, \% / Tl$		$\gamma' = \frac{\Delta U}{\Delta B}, mB / mTl$		
	1-елем.	2-елем.	1-елем.	2-елем.	Примітка
160	89,5	157	0.15	0.29	I-ділянка
	48.0	64	0.08	0.12	II-ділянка
120	95.0	184	0.125	0.25	I- ділянка
	53.0	73	0.07	0.10	II-ділянка
80	110.0	190	0.097	0.175	I-ділянка
	57.0	82	0.05	0.076	II-ділянка

У другій серії експериментів досліджували вплив екранування Mn-Zn феритом зовнішнього магнітного поля на магніторезистивні характеристики. У цьому випадку МР розташовували в пазах монокристалічного фериту в двох положеннях, поперечний переріз яких показано на рисунку а.

На цьому ж рисунку наведені залежності $\Delta U = f(B)$ для двох значень струму МР: 60 і 120 mA. Як видно з рисунка, при частковому екрануванні характеристики мають N-подібний характер, а при повнішому – ΔU не залежить від поля у певних межах його зміни. У цьому випадку площина розташування МР на фериті була перпендикулярною до відповідної площини в “сендвіч”-структурі. При дослідженні структур МР – $YFeO_3$ (монокристал), який є антиферомагнетиком із слабким магнітним моментом, отримано слабку залежність ΔU від поля і сильну орієнтаційну залежність; при порівняно малих значеннях струму ($I_0 = 80$ mA) приріст ΔU був від’ємним за рахунок підкладки, а при більших ($I_0 = 160$ mA) – додатним.

Розглянемо третю серію експериментів, пов’язаних з розташуванням МР на плівках ферогранату $(Y,Sm)_3(Fe,Ga)_5O_{12}$, які були вирощені рідкофазною епітаксією на підкладках галій-гадолінієвого гранату (ГГГ).

Щоб одержати стійкий по відношенню до спонтанної кристалізації розчин-розплав гранатоутворюючих оксидів і флюса $PbO-B_2O_3$, він гомогенізується протягом кількох годин при температурі, вищій від температури насичення. Потім розплав повільно охолоджується до температури зростання, яка є нижчою від температури насичення, як правило, на кілька десятків градусів. При зануренні в розплав гранатоутворюючих оксидів підкладки з ГГГ, яка аксіально обертається, відбувається епітаксійне нарощування шару ферогранату зі швидкостями від десятих часток до кількох мікрон за хвилину. Після нарощування підкладка виймається з розчину-розплаву і краплі, що залишилися на ній, зтрушуються швидким обертанням. Після вистигання залишки розчину-розплаву усуваються хімічним розчиненням.



Залежності приросту напруги від індукції магнітного поля для магніторезистора $InSb$:
 а – переріз магніторезистора: MR без підкладки (0) і MR розташований у пазах фериту (I,II);
 б – польові залежності $\Delta U = f(B)$ для випадків 0, I, II

Результати досліджень наведені у табл. 2. У випадку застосування ферогранатових плівок при струмах через MR $I_0 = 80$ mA приріст ΔU за рахунок підкладки був від'ємним і зростав з підсиленням магнітного поля. При струмах 160 mA спостерігалось зростання ΔU з максимумом при $B = 0,25 \dots 0,27$ Тл з подальшим крутим спадом і переходом до від'ємних значень.

Таблиця 2

Зміна ΔU (mV) MR за рахунок ферогранатової плівки товщиною h при певних значеннях індукції магнітного поля.

I_0, mA	$h = 1,0 \mu m$			$h = 5,0 \mu m$			
	B, Tl	0.17	0.26	0.5	0.17	0.26	0.5
80		-0.5	-1.0	-7.7	-2.7	-1.6	-9.7
160		-0.4	+5.2	-10.0	-2.1	+5.6	-12.1

Феритова плівка містить циліндричні магнітні домени (ЦМД), напрям намагніченості яких є протилежним до напрямку намагніченості матеріалу плівки. Із зростанням магнітного поля ЦМД колапсують і плівки повністю намагнічуються у напрямку [111], що відповідає максимальному значенню ΔU . При подальшому зменшенні ΔU , очевидно, відіграє роль фактор розмагнічування [14].

Висновки. При використанні структур напівпровідник–ферит удвічі підвищується чутливість магніторезистивного елемента до магнітного поля і змінюється форма залежностей $\Delta U=f(B)$. Установлено вплив на магніторезистивні характеристики екранування зовнішнього магнітного поля Mn-Zn – феритом. При частковому екрануванні МР характеристики $\Delta U=f(B)$ мають N- подібний характер, а при повнішому – ΔU не залежить від поля в інтервалі 0,15...0,3 Тл. При розташуванні МР на плівках ферогранату ΔU є від’ємним, але має додатний максимум при $B=0,25...0,27$ Тл і силі струму 160 мА.

1. Убізський С.Б. Епітаксійні ферогранатові структури для сенсорів магнітного поля // Дис. ... д-ра фіз.-мат. наук: Нац.ун-т “Львівська політехніка” – Львів. – 2001. –364 с.
2. Дубинко С.В // Ученые записки Симферопольского гос. ун-та. – Симферополь, 1997. – №4(43). –С.30-40.
3. Rochford K.B., Roso A.H., Day C.W.// IEEE Trans.on Magnet. –1996. –v.32, №5, Part 1 – P.4113-4117.
4. Seni Kyoshiro, Shida Jun-Ichi, Maranami Koichi. // IEEE Trans. Instrum. and Meas. – 1988. –v.37,№3. –P.468-470.
5. Kosoboutski P.and Vodolazski P. // Radiation Effects and Defects in Solids. –1995. – v.137. –P.35-38.
6. Беспятых Ю.И., Вашковский А.В., Зубков В.И., Кильдимов В.Н. // Микроэлектроника. – 1978. – т.7, №5. – С.430-443.
7. Водозазький П.В., Кособуцький П.С., Костюк П.С., Мороз Є.Г., Марчук І.В. // Вісник Львів. політехн. ін-ту. –1993. – №272. – С.11-13.
8. Варшава С.С., Ющук С.І.//Матеріали VI Міжнародної конф. з фізики і технології тонких плівок. – Івано-Франківськ. – 1997. – ч.ІІ. – С.7.
9. Варшава С.С., Соловійова О.П., Ющук С.І. // Тези доп. III Міжнар. школи-конф. “Сучасні проблеми фізики напівпровідників”. – Дрогобич, 2001. – С.109.
10. Ющук С.І., Юр’єв С.О., Ракобовчук Л.М., Варшава С.С.// Вісн. Нац. ун-ту “Львівська політехніка” – 2002. – №454. – С.19-24.
11. Викулин И.М., Викулина Л.Ф., Стафеев В.И. Гальваномагнитные приборы. – М.: Радио и связь. –1983. –104 с.
12. Варшава С.С., Дудикевич В.Б., Попов Я.Б.,Бортнік Г.М. //Матер. Междун. Науч.-практ. конф. “Системы и средства передачи и обработки информации”. – Одесса, 1997. – С.47.
13. Прокошин В.И., Яромлович В.А., Васильев И.И., Гусакова С.В. // Тезисы докл. II Межд. конф. “Взаимодействие излучений с твердым телом”. – Минск, 1997. – С.226-229.
14. Эшенфельдер А. Физика и техника цилиндрических магнитных доменов. – М.: Мир. – 1983. – 496 с.